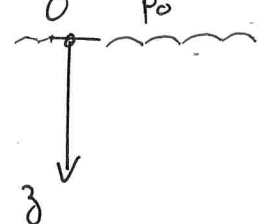


DS n° 3

II Expedition Deep Sea Challenger

1. Principe fondamental de la statique en réf galiléen :

$$\vec{\text{grad}} p = \rho \vec{g} ; \quad \frac{dp}{dz} = \rho \vec{g} \cdot \vec{e}_z ; \quad \frac{dp}{dz} = +\rho g \text{ avec } \vec{e}_z^0.$$

2. 

$$\frac{dp}{dz} = \rho g \Rightarrow p(z) = Cte + \rho g z$$

$$\text{et } p(z=0) = p_0 = Cte$$

done $p(z) = p_0 + \rho g z$

3. Pour une masse m de fluide : $\rho = \frac{m}{V}$ donc $d\rho = -\frac{m}{V^2} dV$

En divisant par $\rho = \frac{m}{V}$: $\frac{d\rho}{\rho} = -\frac{dV}{V}$ d'où

$$\chi_T = \frac{1}{\rho} \frac{d\rho}{dp} .$$

R: on peut aussi remplacer V par $\frac{m}{\rho}$ dans l'expression de χ_T . ($\frac{dm}{dp} = -\frac{m}{\rho^2} \frac{dp}{dp}$)

4. On a, à $T = \text{cte}$:

$$\frac{dp}{dz} = \rho(z) \cdot g \text{ donc } \frac{dp}{dp} \frac{dp}{dz} = \rho(z) g \text{ soit:}$$

$$\frac{dp}{dz} = \rho(z) \cdot g \cdot \frac{dp}{dp} = \rho(z) \cdot g \cdot \chi_T .$$

On sépare les variables et on intègre entre $z=0$ et z :

$$\int_{p_0}^p \frac{dp}{\rho^2} = \int_0^z g \chi_T dz ; \quad -\frac{1}{\rho} + \frac{1}{\rho_0} = g \chi_T z$$

D'où :

$$\rho = \frac{\rho_0}{1 - \rho_0 g \chi_T z}$$

5. Finalement : $d\rho = \rho(z) g dz = \frac{g(\rho_0 dz)}{1 - \rho_0 x_T g z}$

Intégration entre $z=0$ et z : $\rho - \rho_0 = -\frac{1}{x_T} \left[\ln(1 - \rho_0 x_T g z) \right]_0^z$

D'où $\boxed{\rho(z) = \rho_0 + \frac{1}{x_T} \ln(1 - \rho_0 x_T g z)}$.

6. $\rho(z = 10,9 \cdot 10^3 \text{ m}) = 1,12 \times 10^8 \text{ Pa}$.

Ce modèle est donc tout à fait adapté à de telles profondeurs.

R: avec $\rho = \rho_0 = \text{cte}$ on arrive à : $1,09 \cdot 10^8 \text{ Pa}$ ce qui est également adapté (écart de 4%) - [tous ces calculs sans 4%....] [* à l'équilibre]

7. Th d'Archimède : un corps immergé dans un fluide* subit une résultante des forces de pression, noté $\vec{\Pi}$, opposée au poids du fluide déplacé. [et appliquée au centre de gravité (qui est le barycentre du fluide déplacé)].

Ici $\boxed{\vec{\Pi} = -\rho_{\text{eau}} V_{\text{imm}} \vec{g}}$ avec $V_{\text{imm}} = \pi \left(\frac{D}{2}\right)^2 \times H = 25,5 \text{ m}^3$
 $\boxed{\|\vec{\Pi}\| = 254,8 \text{ kN}}$ avec $\rho_{\text{eau}} = \rho_0$.

Cette force est indépendante de la profondeur si on néglige les variations de ρ avec z .

8. Syst : le sous main à la descente : masse m_1 .

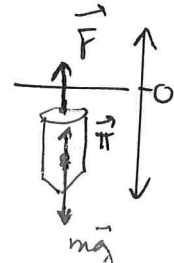
Ref: t.o.c. galiléen

Forces: $m_1 \vec{g}$, $\vec{\Pi}$, $\vec{F} = -\frac{1}{2} \rho_0 C_x S v^2 \vec{g}$

PFD : $m_1 \frac{dv}{dt} = -\frac{1}{2} \rho_0 C_x S v^2 \vec{g} + m_1 \vec{g} + \vec{\Pi}$.

La solution de cette équation tend vers v_{lim} telle que

$$0 = -\frac{1}{2} \rho_0 C_x S \frac{v^2}{v_{\text{lim}}} + m_1 g - \|\vec{\Pi}\|$$



On peut donc déterminer $m_1 g - \|\vec{T}\|$ (= poids apparent) à partir de v_{lim} : $m_1 g - \|\vec{T}\| = \frac{1}{2} \rho_0 C_x S v_{\text{lim}}^2$

(H): on néglige la durée du régime transitoire devant le temps total de chute: $v_{\text{lim}} = \frac{3 \text{ m}}{\Delta t_{\text{desc}}} = 1,21 \text{ m/s}$

$$\text{et } m_1 g - \|\vec{T}\| = 887 \text{ N} \Rightarrow \underline{m_1 = 26,11 \text{ tonne.}}$$

De m à la remontée: $0 = + \frac{1}{2} \rho_0 C_x S v_{\text{lim}}'^2 + m_2 g - \|\vec{T}\|$

$$\text{donc } m_2 g - \|\vec{T}\| = - \frac{1}{2} \rho_0 C_x S v_{\text{lim}}'^2 = -4097 \text{ N. } \left(v_{\text{lim}}' = \frac{3 \text{ m}}{\Delta t_m} \right)$$

$$\text{D'où } \underline{m_2 = 25,60 \text{ tonne}}$$

$$\text{Finalement } \boxed{m_{\text{ballast}} = m_1 - m_2 = \frac{1}{2g} \rho_0 C_x S (v_{\text{lim}}^2 + v_{\text{lim}}'^2) = 509 \text{ kg}}$$

R: Le volume du ballast est faible car il est sûrement en acier ($\rho \sim 8000 \text{ kg/m}^3$) et $V_{\text{ballast}} \sim 60 \text{ L} \ll V_{\text{mm}}$.

R:

Dans ces questions ouvertes et difficiles, il est important de chercher au brouillon et de présenter proprement et en rédigeant clairement la réponse, même partielle, à la question posée.

Les étapes intermédiaires sont valorisées dans la notation mais il faut que la copie ne soit pas une succession de calculs : REDIGER vos réponses !

9. La composition de l'air est approximativement:

$$\boxed{x_{O_2} = 20\% \text{ et } x_{N_2} = 80\%}$$

$$P_{\text{tot}} = P_{O_2} + P_{N_2} \quad \text{avec} \quad \boxed{\begin{aligned} P_{O_2} &= x_{O_2} \cdot P_{\text{tot}} = 0,20 \text{ bar} \\ P_{N_2} &= x_{N_2} \cdot P_{\text{tot}} = 0,80 \text{ bar} \end{aligned}}$$

10. Si la concentration en dioxygène est $[O_2]_i = n_i / V_{\text{int}}$
alors la q. de matière de 1 inspirat° V_p est $n_i \times \frac{V_p}{V_{\text{int}}}$

$\frac{1}{4}$ de cet oxygène est consommé donc

$$\boxed{n_{i+1} = n_i - \frac{1}{4} n_i \frac{V_p}{V_{\text{int}}}}$$

C'est une suite géométrique de raison $1 - \frac{V_p}{4V_{\text{int}}}$.

$$\text{D'où : } n_i = n_0 \cdot \left(1 - \frac{V_p}{4V_{\text{int}}}\right)^i$$

$$\text{Finalement } p_{O_2}^i = n_i \frac{RT}{V_{\text{int}}} = n_0 \frac{RT}{V_{\text{int}}} \cdot \left(1 - \frac{V_p}{4V_{\text{int}}}\right)^i = \boxed{p_{O_2}^0 \left(1 - \frac{V_p}{4V_{\text{int}}}\right)^i = p_{O_2}^i}$$

11. On cherche i tel que $p_{O_2}^i \geq p_{O_2 \text{ lim}}$:

$$\Rightarrow i \ln\left(1 - \frac{V_p}{4V_{\text{int}}}\right) \geq \ln\left(\frac{p_{O_2 \text{ lim}}}{p_{O_2}^0}\right)$$

$$\Rightarrow i \leq \frac{\ln(p_{O_2 \text{ lim}}/p_{O_2}^0)}{\ln(1 - V_p/4V_{\text{int}})} = 12300. \quad \left(V_{\text{int}} = \pi \left(\frac{D_{\text{int}}}{2}\right)^2 b\right)$$

Il a droit à $\boxed{12300 \text{ inspirations soit } \sim 50 \cdot 10^3 \text{ s}}$
 $\sim 14 \text{ h.}}$

La marge est assez grande mais il ne faut pas paniquer!

I. Sondes l'atmosphère

5

- Il s'agit d'établir l'éq. de la statique des fluides sur une partie élémentaire de géométrie simple.

Syst: la partie de fluide cylindrique (section S)

Ref: tension considérée galiléen

Faces: $\rho_{air} S g \vec{g}$; $p(z) S \vec{e}_z$; $-p(z+dz) S \vec{e}_z$; $\vec{F}_{latérale}$

Par symétrie, les faces latérales se compensent et

il reste selon \vec{e}_z : $-p S g dz + p(z) S -p(z+dz) S = 0$

$$\text{or } \frac{p(z+dz) - p(z)}{dz} = \frac{dp}{dz} \text{ donc } -p g dz - \frac{dp}{dz} dz = 0$$

D'où

$$\boxed{\frac{dp}{dz} = -pg}$$

Comme l'air est un gaz parfait: $p = \frac{m}{V} = \frac{nM}{V} = \frac{pMT_0}{RT_0}$

et

$$\boxed{\frac{dp}{dz} = -\frac{Mg}{RT_0} p.}$$

- Résolution: $p = A e^{-\frac{z}{H}}$

$$\text{avec } H = \frac{RT_0}{Mg} = 8,4 \text{ km}$$

$$\text{De plus } p(0) = p_0 = A$$

$$\boxed{p(z) = p_0 e^{-\frac{z}{H}}}$$

- $p = p_{\frac{1}{2}} = p_0 e^{-\frac{z_{50}}{H}}$

$$\Rightarrow \boxed{z_{50} = H \cdot \ln 2 = 5,8 \text{ km.}}$$

- Dans la troposphère ($z < 15 \text{ km}$), T décroît linéairement avec z alors que dans la stratosphère T est presque constante (elle augmente un peu avec z).

- Bon profil puisqu'il est affine décroissant!

$$T_0 \approx 25^\circ\text{C} = 298 \text{ K} \quad \text{et}$$

$$(1) \quad a = \frac{1}{[\text{pente}]} \quad \text{car la pente est } n(T) !$$

$$\boxed{a = \left| \frac{\Delta T}{\Delta z} \right| = \frac{65^\circ\text{C}}{10 \cdot 10^3} = 6,5 \text{ } ^\circ\text{C/km.}} \\ = 6,5 \cdot 10^{-3} \text{ } ^\circ\text{C/m au km.}$$

6. On a : $\frac{dp}{dz} = -\rho g$ avec $\rho = \frac{Mg}{R(T_0 - az)} \times p$

donc $\frac{dp}{p} = -\frac{Mg}{R(T_0 - az)} dz \Rightarrow \ln \frac{p}{p_0} = +\frac{Mg}{Ra} \ln \left(\frac{T_0 - az}{T_0} \right)$

Finalement $p = p_0 \left(1 - \frac{az}{T_0} \right)^{\frac{Mg}{Ra}}$ et $b = \frac{a}{T_0}$ et $\alpha = \frac{Mg}{Ra}$

$$b = \frac{6,5 \cdot 10^{-3} \text{ (K/m)}}{298 \text{ (K)}} = 2,2 \cdot 10^{-5} \text{ m}^{-1}$$

$$\alpha = \frac{Mg}{Ra} = \frac{29 \cdot 10^{-3} \cdot 9,81}{8,314 \cdot 6,5 \cdot 10^{-3}} = 5,3$$

$$\left(\frac{\text{kg} \cdot \text{mol}^{-1} \cdot \text{m} \cdot \text{s}^{-2}}{\text{kg} \cdot \text{m}^2 \cdot \text{s}^{-2} \cdot \text{K} \cdot \text{mol}^{-1} \cdot \text{K} \cdot \text{m}^{-1}} \right)$$

ss unité!

7. DL 1 en $\varepsilon = bz \ll 1$:

$$p(z) = p_0 \left(1 - \alpha bz \right) + o(bz) = p_0 \left(1 - \frac{Mg}{RT_0} z \right)$$

Or le modèle isoT donne pour $z \ll H$:

$$p(z) = p_0 \left(1 - z/H \right) + o(z/H) = p_0 \left(1 - \frac{Mg}{RT_0} z \right)$$

Les 2 modèles donnent les mêmes résultats si z est faible.

8. g_{rel} est l'approximation de $\frac{GM_T}{(R_T + z)^2}$ pour $z \ll R_T$.

On peut donc calculer:

$$\begin{aligned} \frac{\Delta g}{g} &= \frac{\frac{GM_T}{R_T^2} - \frac{GM_T}{(R_T + z)^2}}{\frac{GM_T}{R_T^2}} = 1 - \frac{R_T^2}{(R_T + z)^2} \\ &= 0,6\% \quad [\simeq 2 z/R_T] (\text{DL 1}) \end{aligned}$$

\Rightarrow La variation de g est très faible même pour des hauteurs de plusieurs dizaines de km.

9. Au décollage: $m_{He} = n_{He} \cdot M_{He} = \frac{P_0 V}{R T_0} \cdot M_{He} = 16,7 \text{ kg}$

10. Syst: le ballon-sonde.

Ref: t.c.g.

Faces: $m\vec{g} + m_{He}\vec{g} ; \vec{T} = -m_{air}\vec{g} ; \vec{R}_{N_{sol}}$.

A la limite du décollage: $\vec{R}_N = \vec{0}$ d'où

$$m\vec{g} + m_{He}\vec{g} - m_{air}\vec{g} = \vec{0}$$

avec $m_{air} = n_{air} \cdot M_{air} = n_{He} \cdot M_{air}$ car $n_{air} = n_{He}$
 $= \frac{m_{He}}{M_{He}} \cdot M_{air}$ (à P, V et T)

$$\Rightarrow m = m_{He} \left(\frac{M_{air}}{M_{He}} - 1 \right) = 104 \text{ kg.}$$

Pour le décollage il faut que $m < 104 \text{ kg.}$

11. $m = 20 \text{ kg} < m_{critique}$: le ballon décolle!

Le ballon plafonne quand $\vec{T} + (m + m_{He})\vec{g} = \vec{0}$

s'it $m = \frac{P_0 V}{R T_0} M_{He} \left(\frac{M_{air}}{M_{He}} - 1 \right)$ donc la limite

correspond à $\boxed{P = \frac{m R T_0}{V(M_{air} - M_{He})} = 0,19 \text{ bar}}.$

Or $P = 0,19 \text{ bar}$ correspond à $\boxed{z = H \ln \frac{P_0}{P} = 14,0 \text{ km.}}$

III Interférence

8.

1. Rigol[®] bien sûr ! (Action à 60,81 # ce jour !)
2. Il suffit de faire un changement de variable: $x = z - L$:

$$s_2(x, t) = s_0 \cos(2\pi f(t - \frac{x}{c}))$$

D'où
$$\boxed{s_2(x, t) = s_0 \cos(2\pi f(t - \frac{x-L}{c}))}$$

3. La superposition de ces 2 signaux déphasés de $\Delta\phi$ avec $\Delta\phi = \Phi_2 - \Phi_1 = 2\pi f(t - \frac{x_2-L}{c}) - 2\pi f(t - \frac{x_1}{c}) = 2\pi f \frac{L}{c}$

donne : $s_{\text{tot}, m}^2 = 2s_0^2 + 2s_0^2 \cos(2\pi f \frac{L}{c})$ d'après Fresnel

$$\Rightarrow \boxed{s_{\text{tot}, m} = \sqrt{2} s_0 \sqrt{1 + \cos(2\pi f \frac{L}{c})}}$$

4. Cette amplitude ne dépend pas de x_3 .

5. Amplitude maximale si $\cos(2\pi f \frac{L}{c}) = 1$

soit $2\pi f \frac{L}{c} = 2k\pi \quad k \in \mathbb{N} \Rightarrow \boxed{\frac{L}{b} = k \frac{c}{f} = kd}$

6. $s_1(M, t) = s_0 \cos(2\pi f(t - \frac{s_1 M}{c}))$

7. $s_2(M, t) = s_0 \cos(2\pi f(t - \frac{s_2 M}{c}))$

8. D'après Fresnel : $s_{\text{tot}, m}^2 = 2s_0^2 + 2s_0^2 \cos(2\pi f \frac{d}{c})$

$$s_{\text{tot}, m} = \sqrt{2} s_0 \sqrt{1 + \cos(2\pi f \frac{d}{c})}$$

9. $d = s_2 M - s_1 M = \sqrt{D^2 + (y - \frac{b}{2})^2} - \sqrt{D^2 + (y + \frac{b}{2})^2}$

$$\approx D \left(1 + \frac{1}{2} \left(\frac{y}{D} \right)^2 - \frac{1}{2} \left(\frac{yb}{D^2} \right) + \frac{1}{2} \left(\frac{b}{4D} \right)^2 - 1 - \frac{1}{2} \left(\frac{y}{D} \right)^2 + \frac{1}{2} \frac{yb}{D^2} - \frac{1}{2} \left(\frac{b}{4D} \right)^2 \right)$$

$$\boxed{\sqrt{ } \approx \frac{yb}{D}}$$

10. Cette amplitude (donc le déphasage) dépend de la position y du micro.

11. $s_{\text{tot}, m} = 0$ (nœud) si $\cos(2\pi f \frac{yb}{cD}) = -1$

soit $2\pi f \frac{yb}{cD} = \pi + k\pi \quad k \in \mathbb{N} \Rightarrow$

12. $i = y_{k+1} - y_k :$
$$\boxed{i = \frac{bD}{b} = \frac{cD}{fb} = 77 \text{ cm.}}$$

$$\boxed{y_{k+1} = \left(\frac{1}{2} + k \right) \lambda \frac{D}{b}}$$